

Ge_xSe_{90-x}Sb₁₀ 硫系玻璃的热力学特性和动力学脆性研究*

李姣姣 坚增运 朱满 许军锋 常芳娥 相敏

(西安工业大学材料与化工学院, 西安 710021)

摘要 采用 DSC 对熔融-淬冷法制备的 Ge_xSe_{90-x}Sb₁₀ ($x=20, 23, 25, 30$) 玻璃及其晶体的性质进行了研究, 获得了 Ge_xSe_{90-x}Sb₁₀ 玻璃在不同加热速率下的玻璃化转变温度 T_g 以及玻璃与晶体的比热容和熵随温度的变化关系, 在此基础上确定出了 Ge_xSe_{90-x}Sb₁₀ 的动力学理想玻璃化转变温度 T_0 , 热力学理想玻璃转变温度 T_k (Kauzmann 温度) 及动力学脆性参数 m 。结果表明, Ge_xSe_{90-x}Sb₁₀ 的 T_g , 玻璃与晶体的比热容和熵均随着升温速率的增加而增大。 T_g 和 T_0 随 Ge 含量的增加呈现先增大后减小的变化规律, T_k 随 Ge 含量的增加呈现线性增大的规律。 Ge_xSe_{90-x}Sb₁₀ 玻璃的 m , T_g/T_k , T_g/T_m 和 T_g/T_0 分别为 20.7~23.2, 1.183~1.352, 0.678~0.742 和 1.006~1.019。 Ge_xSe_{90-x}Sb₁₀ 玻璃的 m 均小于 30, T_g/T_k 均大于 1.1, 说明其为典型的“强”熔体; T_g/T_m 均大于 2/3, 说明其玻璃化形成能力比较强。

关键词 Ge_xSe_{90-x}Sb₁₀ 玻璃, 玻璃化转变温度, 比热容, 动力学脆性

中图法分类号 O751

文献标识码 A

文章编号 0412-1961(2015)11-1384-07

STUDY ON THERMODYNAMIC PROPERTIES AND KINETICS FRAGILITY OF Ge_xSe_{90-x}Sb₁₀ CHALCOGENIDE GLASSES

LI Jiaojiao, JIAN Zengyun, ZHU Man, XU Junfeng, CHANG Fang'e, XIANG Min

School of Materials and Chemical Engineering, Xi'an Technological University, Xi'an 710021

Correspondent: JIAN Zengyun, professor; Tel: (029)86173321, E-mail: jianzengyun@xatu.edu.cn

Supported by National Basic Research Program of China (No.2011CB610403), National Natural Science Foundation of China (Nos.51371137, 51071115, 51171136, 51301125 and 51401156), Natural Science Basic Research Plan in Shaanxi Province of China (Nos.2012JM6010 and 2014JM6225) and Scientific Research Program Funded by Shaanxi Provincial Education Department (No.2013JK0907)

Manuscript received 2015-01-28, in revised form 2015-07-23

ABSTRACT The properties of the glasses and crystals of Ge_xSe_{90-x}Sb₁₀ ($x=20, 23, 25, 30$) prepared with melt quenching method have been analyzed by DSC. The glass transition temperature (T_g) of Ge_xSe_{90-x}Sb₁₀ glasses at different heating rates, the specific heat capacity and the entropy of the glasses and the crystals have been obtained. And on this basis, the kinetics ideal glass transition temperature (T_0), the thermodynamics ideal glass transition temperature (T_k) (Kauzmann temperature) and the kinetic fragility index (m) of Ge_xSe_{90-x}Sb₁₀ glasses have been determined. It is found that T_g , the specific heat capacity and the entropy increase with increasing the heating rate. T_g and T_0 first increase and then decrease with increasing the Ge content, while T_k increases linearly with the increase of Ge content. The m , T_g/T_k , T_g/T_m and T_g/T_0 are estimated to be 20.7~23.2, 1.183~1.352, 0.678~0.742 and 1.006~1.019, re-

*国家重点基础研究发展计划项目 2011CB610403, 国家自然科学基金项目 51371137, 51071115, 51171136, 51301125 和 51401156, 陕西省科技厅自然科学基金项目 2012JM6010 和 2014JM6225, 以及陕西省教育厅自然科学基金项目 2013JK0907 资助

收到初稿日期: 2015-01-28, 收到修改稿日期: 2015-07-23

作者简介: 李姣姣, 女, 1989 年生, 硕士生

DOI: 10.11900/0412.1961.2015.00072

spectively. For each $\text{Ge}_x\text{Se}_{90-x}\text{Sb}_{10}$ glass in this work, its m is smaller than 30 and T_g/T_K is larger than 1.1, which means that the $\text{Ge}_x\text{Se}_{90-x}\text{Sb}_{10}$ glass should be considered as a strong melt. The value of T_g/T_m is larger than 2/3, which indicates that amorphous $\text{Ge}_x\text{Se}_{90-x}\text{Sb}_{10}$ can be formed easily.

KEY WORDS $\text{Ge}_x\text{Se}_{90-x}\text{Sb}_{10}$ glass, glass transition temperature, specific heat capacity, kinetic fragility

金属玻璃具有不同于传统材料的优良性能,因此近些年来科学工作者对其做了广泛的研究. 玻璃化转变是非晶研究的一个主要分支. 表征熔体玻璃化转变有3个特征温度: 实际名义玻璃化转变温度 $T_g^{[1-4]}$ 、动力学理想玻璃化转变(VFT温度)温度 $T_0^{[1-4]}$ 、热力学理想玻璃化转变温度 T_K (即 Kauzmann 温度^[5], 该温度下液体与对应晶体熵值相等, 是过冷熔体存在的极限温度). 只有知道 T_g , T_0 , T_K 的精确数据及其相关规律, 才能确定过冷熔体和玻璃基体中亚临界晶核和临界晶核的演变规律, 实现对非晶材料非晶形成能力的正确预测和成分的准确设计^[6-8]. 表征玻璃性质的另一个重要参数是液体的脆性参数 m . Angell^[9]提出了“熔体脆性”的概念, 根据 m 的大小可将熔体划分为强性熔体和脆性熔体2大类, 以描述熔体的结构特征及玻璃的动力学行为.

研究人员对金属玻璃的 T_g , T_0 , T_K 和 m 已进行了大量研究^[10-25]. 蒋青等^[17]通过测量 $\text{Pt}_{69.0}\text{Ni}_{9.6}\text{P}_{21.4}$ 合金晶体、熔体比热容和熵随温度的变化关系, 确定出了该合金的 T_K . Jiang 等^[12]通过实验和计算得到了 $\text{Zr}_{46}(\text{Cu}_{4.5/5.5}\text{Ag}_{1/5.5})_{46}\text{Al}_8$ 合金的 T_g , T_0 和 T_K . Gallino 等^[26]通过量热法和热机械分析研究了铂基非晶的比热容和黏度, 建立了黏度测量的 VFT 关系, 并从比热容函数计算出温度相关的结构熵. 目前, 人们已经获得了锆基^[10-16]、铂基^[11,17,18]、镧基^[19-22]、钽基^[10-14, 23,24]等很多金属非晶体系的 T_g , T_0 和 T_K ; 并已经获得了大多数非晶的 m . Jia 等^[19]研究了镧基非晶的热力学脆性特性, 提出了热力学脆性系数 M_{AS} 的概念, 指出熔体的 M_{AS} 与 m 之间存在线性关系.

硫系玻璃具有优异的成玻成纤能力、良好的热稳定性和优异的光学性能, 且可通过精密模压技术一次成型出复杂的红外光学元件^[27-29], 有望替代传统 Ge 单晶和 ZnSe 单晶应用于热成像领域. 获得硫系玻璃的有关性质是实现其应用开发的前提. Vázquez 等^[29]研究了 $\text{Ge}_x\text{Sb}_{0.23-y}\text{Se}_{0.77-x+y}$ 玻璃在不同升温速率下的 T_g , 并得出其晶化激活能. Lee 等^[30]研究了不同成分富 Ge 的 Ge-Se-Sb 玻璃的 T_g 随各成分的变化关系, 发现 Ge-Se-Sb 玻璃的 T_g 主要受 Ge 含量的影响. 但目前对 Ge-Se-Sb 硫系玻璃 T_0 , T_K

和 m 的研究还比较少, 特别是对 T_K 的研究尚未见报道. 本工作主要研究 $\text{Ge}_x\text{Se}_{90-x}\text{Sb}_{10}$ ($x=20, 23, 25, 30$, 原子分数)玻璃转化特征温度 T_g , T_0 , T_K 和 m 及其相关关系.

1 实验方法

合成 $\text{Ge}_x\text{Se}_{90-x}\text{Sb}_{10}$ ($x=20, 23, 25, 30$)玻璃和晶体的原料选用纯度为 99.999% 的 Ge, Se 和 Sb. 反应容器选用内径为 15 mm 的高纯石英管. 首先, 用氢氟酸、丙酮和去离子水清洗石英管, 并将其置于真空烘箱内在 423 K 下烘烤 12 h; 然后, 将称量好的 Ge, Se 和 Sb 按一定化学计量比装入石英管并在 393 K 烘烤 6 h; 最后在 10^{-4} Pa 真空度下用氢氧焰将石英管熔封. 玻璃和晶体试样的烧制在摇摆炉中进行. 烧制过程如下: 先将熔封在石英管中的试样在摇摆炉升温至 513 K 保温 12 h, 再升温到 903 K 保温 12 h, 然后升温到 1173 K 保温 12 h, 并使摇摆炉左右摇动以保证试管内原料混合均匀; 最后将试样从炉中取出并置于空气中冷却, 即可获得 $\text{Ge}_x\text{Se}_{90-x}\text{Sb}_{10}$ 玻璃试样. 晶体试样的获取采用如下工艺: 先将试样从高温降温至 773 K 并保温 72 h, 然后随炉冷却到室温, 即可制备得到 $\text{Ge}_x\text{Se}_{90-x}\text{Sb}_{10}$ 晶体试样.

采用 DSC 823e 型差示扫描量热仪测定 $\text{Ge}_x\text{Se}_{90-x}\text{Sb}_{10}$ 玻璃在升温过程中的加热曲线, 温度和热量均采用标样 In 和 Zn 进行校准和标定, 测量精度为 ± 0.02 K. 升温速率分别设置为 0.167, 0.333, 0.500 和 0.667 K/s, 采用导热性较好的铝坩埚.

玻璃和晶体比热容 $c_p(T)$ (其中, T 为热力学温度)的测定采用蓝宝石校正法. 每个试样的比热容需要分别测出空坩埚、蓝宝石和样品的热流. 热流的测量采用分段保温法: 升温速率 R_h 为 0.167 K/s, 起始保温温度为 373 K, 保温温度间隔为 150 K, 保温时间为 10 min. 试样的质量为 20 mg, 颗粒尺寸为 75 μm . 测量过程中采用高纯度 Ar 气保护. 为了确保实验结果的准确性, 每组实验均测量 4 次.

试样的热流 Q 可以表示为:

$$Q = c_p(T) \cdot m_{\text{sam}} \cdot R_h \quad (1)$$

其中, m_{sam} 为样品的质量. 在相同的升温速率下, DSC 的测量热流与基线热流的差值与热容 ($c_p(T) \cdot m_{\text{sam}}$) 成正比. 在一定温度范围内可以表示为:

$$\frac{Q - Q_{bl}}{Q_{sap} - Q_{bls}} = \frac{c_p(T) \cdot m_{sam}}{c_p(T)_{sap} \cdot m_{sap}} \quad (2)$$

式中, Q_{bl} 和 Q_{bls} 分别为样品空坩埚与蓝宝石空坩埚的基线热流, Q_{sap} 为测得的蓝宝石热流, $c_p(T)_{sap}$ 与 m_{sap} 分别为标准蓝宝石比热容及质量. 由式(2)可得:

$$c_p(T) = \frac{(Q - Q_{bl}) \cdot c_p(T)_{sap} \cdot m_{sap}}{(Q_{sap} - Q_{bls}) \cdot m_{sam}} \quad (3)$$

$\text{Ge}_x\text{Se}_{90-x}\text{Sb}_{10}$ 玻璃的结构采用 XRD-6000 型 X 射线衍射(XRD)仪分析. 实验时的扫描范围为 $10^\circ \sim 80^\circ$, 扫描速率为 $4^\circ/\text{min}$.

2 实验结果与讨论

2.1 XRD 分析

图1为 $\text{Ge}_x\text{Se}_{90-x}\text{Sb}_{10}$ ($x=20, 23, 25, 30$) 试样的 XRD 谱. 可见, 在 2θ 为 15° , 30° 和 51° 处存在 3 个宽化衍射包的漫散峰, 这是硫系玻璃典型的结构特征, 说明制备得到的 $\text{Ge}_x\text{Se}_{90-x}\text{Sb}_{10}$ 硫系玻璃试样具有完全的非晶态结构.

2.2 玻璃化转变温度 T_g

图2给出了 $\text{Ge}_x\text{Se}_{90-x}\text{Sb}_{10}$ ($x=20, 23, 25, 30$) 玻璃在不同升温速率下的 DSC 曲线, 图中标出了玻璃化转变温度 T_g . 可以看出, $\text{Ge}_x\text{Se}_{90-x}\text{Sb}_{10}$ 玻璃的 T_g 不仅受

升温速率的影响, 也受 Ge 含量的影响. 在相同升温速率条件下, $\text{Ge}_x\text{Se}_{90-x}\text{Sb}_{10}$ 玻璃试样的 T_g 先随 Ge 含量增加而升高; 当 Ge 含量为 25% 时, T_g 达到最大值; Ge 含量超过 25% 后, T_g 随 Ge 含量增加而降低. 这种变化规律与 Vázquez 等^[29] 在 $\text{Ge}_x\text{Sb}_{0.23-y}\text{Se}_{0.77-x+y}$ 玻璃中的研究结果相一致. 随着升温速率的增大, 4 种成分 $\text{Ge}_x\text{Se}_{90-x}\text{Sb}_{10}$ 玻璃试样的 T_g 均向高温方向偏移, 玻璃化转变的动力学效应显著. 这与增加升温速率使弛豫时间减小有关. 随着升温速率的增加, 升温过程所经历的时间减小, 玻璃需要更高的温度弛豫到过冷液相^[31], 导致 T_g 不断增大.

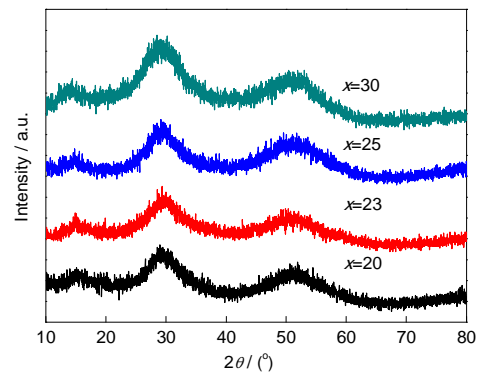


图1 $\text{Ge}_x\text{Se}_{90-x}\text{Sb}_{10}$ ($x=20, 23, 25, 30$) 玻璃的 XRD 谱

Fig.1 XRD spectra of $\text{Ge}_x\text{Se}_{90-x}\text{Sb}_{10}$ ($x=20, 23, 25, 30$) glasses

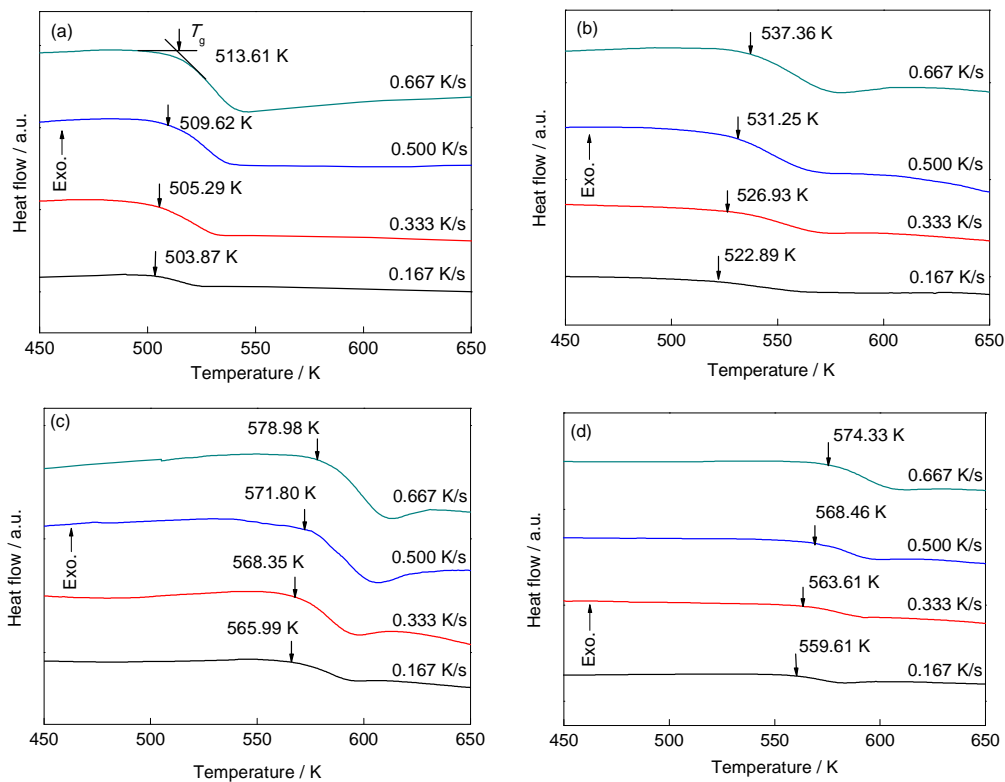


图2 $\text{Ge}_x\text{Se}_{90-x}\text{Sb}_{10}$ 硫系玻璃在不同升温速率下的 DSC 曲线

Fig.2 DSC curves of $\text{Ge}_x\text{Se}_{90-x}\text{Sb}_{10}$ chalcogenide glasses with different heating rates (T_g —glass transition temperature)

(a) $x=20$ (b) $x=23$ (c) $x=25$ (d) $x=30$

硫系红外玻璃中的总体平均键能是影响玻璃化转变温度的主要因素^[32,33]. 总体平均键能越大, T_g 越高. Ge-Se-Sb 玻璃中存在的化学键及其键能^[32] 分别为: Ge-Ge 键 1.63 eV, Se-Se 键 1.90 eV, Sb-Sb 键 1.31 eV, Sb-Se 键 1.86 eV, Ge-Se 键 2.12 eV 以及 Ge-Sb 键 1.48 eV. 由化学键理论可知, 异级键 Ge-Se 键和 Sb-Se 键优先于同级键 Ge-Ge 键、 Se-Se 键和 Sb-Sb 键的形成.

总体平均键能 $\langle E \rangle$ 可以表示为^[32]:

$$\langle E \rangle = E_c + E_m \quad (4)$$

式中, E_c 表示交联结构原子的平均键能, E_m 表示交联结构之外的平均每个原子的结合能. 在富 Se 结构中 ($x=20, 23, 25$), E_m 和 E_c 可以表示为:

$$E_m = 2\left(\frac{1}{2}\langle N \rangle - P_r\right)E_{\text{Se-Se}} / \langle N \rangle \quad (5)$$

$$E_c = P_r \cdot E_{\text{hb}} \quad (6)$$

在少 Se 结构中 ($x=30$), E_m 和 E_c 可以表示为:

$$E_m = 2\left(\frac{1}{2}\langle N \rangle - P_p\right)E_{\text{Ge-Ge}} / \langle N \rangle \quad (7)$$

$$E_c = P_p \cdot E_{\text{hb}} \quad (8)$$

式中, $\langle N \rangle$ 表示平均配位数, $\langle N \rangle = m_{\text{Ge}} \cdot N_{\text{Ge}} + m_{\text{Se}} \cdot N_{\text{Se}} + m_{\text{Sb}} \cdot N_{\text{Sb}}$ (其中, N_{Ge} , N_{Se} , N_{Sb} 分别表示 Ge, Se 和 Sb 的原子配位数, 分别为 4, 2 和 3^[32]; m_{Ge} , m_{Se} 和 m_{Sb} 分别表示 Ge, Se 和 Sb 的摩尔分数); P_r 与 P_p 分别表示富 Se

结构和少 Se 结构的交联程度; E_{hb} 表示异级的平均键能; $E_{\text{Se-Se}}$ 表示 Se-Se 键的键能; $E_{\text{Ge-Ge}}$ 表示 Ge-Ge , Sb-Sb 和 Ge-Sb 键的平均键能, $E_{\text{Ge-Ge}} = (E_{\text{Ge-Ge}} + E_{\text{Sb-Sb}} + E_{\text{Ge-Sb}})/3$. E_{hb} , P_r 和 P_p 分别为:

$$E_{\text{hb}} = (m_{\text{Ge}} \cdot N_{\text{Ge}} \cdot E_{\text{Ge-Se}} + m_{\text{Se}} \cdot N_{\text{Se}} \cdot E_{\text{Se-Sb}}) / (m_{\text{Ge}} \cdot N_{\text{Ge}} + m_{\text{Se}} \cdot N_{\text{Se}}) \quad (9)$$

$$P_r = m_{\text{Ge}} \cdot N_{\text{Ge}} + m_{\text{Se}} \cdot N_{\text{Sb}} \quad (10)$$

$$P_p = m_{\text{Se}} \cdot N_{\text{Se}} \quad (11)$$

式中, $E_{\text{Ge-Se}}$ 和 $E_{\text{Se-Sb}}$ 分别表示 Ge-Se 键和 Se-Sb 键的键能. 将各键能值带入公式(4)~(11)中, 得出 $\text{Ge}_x\text{Se}_{90-x}\text{Sb}_{10}$ ($x=20, 23, 25, 30$) 4 种成分玻璃的平均键能分别为 2.48, 2.60, 2.68 和 2.65 eV. 可见, 在 $\text{Ge}_x\text{Se}_{90-x}\text{Sb}_{10}$ 玻璃中, 总体平均键能随 Ge 含量的增加呈先增大后减小的规律, 含量为 25% 时, 平均键能达到最大值. 这与图 2 的实验结果 (Ge 含量为 25% 时, T_g 达到最大值) 一致.

2.3 理想玻璃化转变温度 T_0

由 Vogel-Fulcher 方程^[24]可知:

$$R_h = A \exp \frac{DT_0}{T_0 - T_g} \quad (12)$$

式中, A , D 和 T_0 为拟合参数; T_0 表示当 $R_h \rightarrow 0$ 时的玻璃化转变温度, 即动力学理想玻璃化转变温度.

采用 Vogel - Fulcher 方程对 $\text{Ge}_x\text{Se}_{90-x}\text{Sb}_{10}$ ($x=20, 23, 25, 30$) 玻璃的升温速率与玻璃化转变温度进行拟合, 结果见图 3. 由图中曲线拟合结果可知,

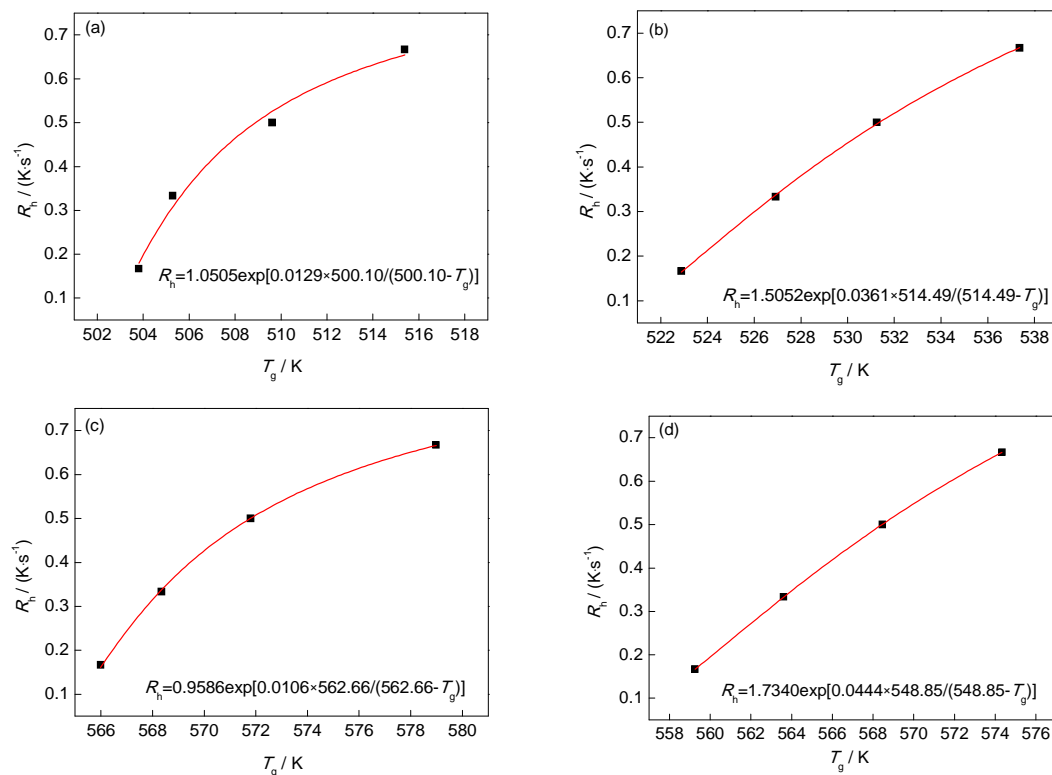


图 3 $\text{Ge}_x\text{Se}_{90-x}\text{Sb}_{10}$ 硫系玻璃升温速率随玻璃化转变温度的变化及 Vogel-Fulcher 拟合曲线

Fig.3 Heating rate (R_h) as a function of T_g , and the Vogel-Fulcher fitting curves for $\text{Ge}_x\text{Se}_{90-x}\text{Sb}_{10}$ chalcogenide glasses

(a) $x=20$ (b) $x=23$ (c) $x=25$ (d) $x=30$

$\text{Ge}_x\text{Se}_{90-x}\text{Sb}_{10}$ 玻璃的 T_0 分别为 500.10, 514.49, 562.66 和 548.85 K. T_0 随着 Ge 含量的增加呈现先增加后减小的变化规律, 与 Vázquez 等^[29]在文献中得出的数据所计算得到的 T_0 随 Ge 含量的变化规律相一致.

2.4 热力学理想玻璃化转变温度 T_K 的确定

$\text{Ge}_x\text{Se}_{90-x}\text{Sb}_{10}$ ($x=20, 23, 25, 30$) 玻璃态(过冷熔体)试样在加热过程中的比热容及对应晶体态试样的比热容见图 4. 图中实线与虚线分别为采用最小二乘法拟合得到的玻璃态试样比热容 $c_p^g(T)$ 和晶体试样比热容 $c_p^c(T)$ 的曲线. $c_p^g(T)$ 和 $c_p^c(T)$ 可以表示为^[17]:

$$c_p^g(T) = a + bT + cT^2 \quad (13)$$

$$c_p^c(T) = d + eT + fT^2 \quad (14)$$

式中, a, b, c, d, e 和 f 为拟合参数. 用式(13)和(14)拟合得到的 $\text{Ge}_x\text{Se}_{90-x}\text{Sb}_{10}$ 过冷熔体和晶体比热容的拟合参数如表 1 所示.

图 4 所示 $\text{Ge}_x\text{Se}_{90-x}\text{Sb}_{10}$ 晶体态试样比热容的测量区间均在高于 373 K 但低于熔化温度的范围内. 玻璃态试样比热容的测量区间均在高于 T_g 温度但低于结晶温度的范围内进行. 各成分硫系玻璃试样的比热容随 Ge 含量的增多而略有增加, 平均比热容约为 117 J/(mol·K).

玻璃体(过冷熔体)和晶体的熵差 $\Delta S^{g-c}(T)$ 可表示为^[17]:

$$\Delta S^{g-c}(T) = \Delta S_f + \int_{T_c}^T (\Delta c_p^{g-c}(T)/T) dT \quad (15)$$

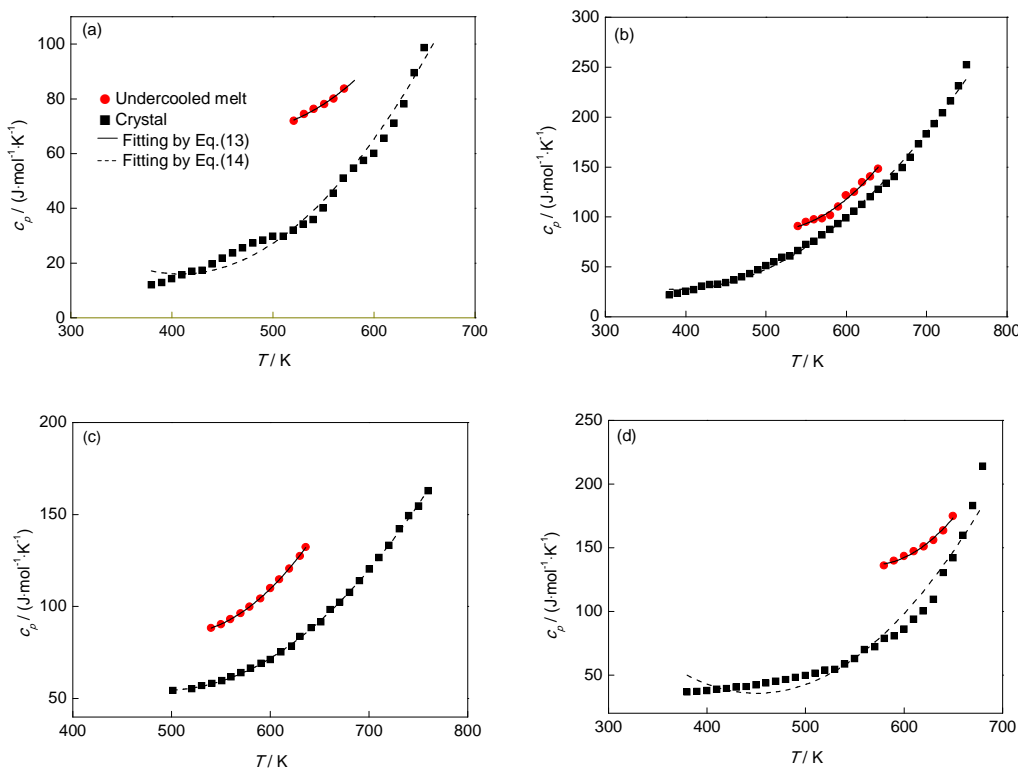


图 4 $\text{Ge}_x\text{Se}_{90-x}\text{Sb}_{10}$ ($x=20, 23, 25, 30$) 试样比热容随温度的变化

Fig.4 Specific heat capacity (c_p) for $\text{Ge}_x\text{Se}_{90-x}\text{Sb}_{10}$ samples as a function of temperature (T)

(a) $x=20$ (b) $x=23$ (c) $x=25$ (d) $x=30$

表 1 $\text{Ge}_x\text{Se}_{90-x}\text{Sb}_{10}$ 过冷熔体及晶体比热容的拟合参数

Table 1 Fitting parameters ($a \sim f$) for the heat capacity data for the undercooled melt and crystal of $\text{Ge}_x\text{Se}_{90-x}\text{Sb}_{10}$

| x | a $\text{J} \cdot \text{mol}^{-1} \cdot \text{K}^{-1}$ | b $\text{J} \cdot \text{mol}^{-1} \cdot \text{K}^{-2}$ | c $\text{J} \cdot \text{mol}^{-1} \cdot \text{K}^{-3}$ | d $\text{J} \cdot \text{mol}^{-1} \cdot \text{K}^{-1}$ | e $\text{J} \cdot \text{mol}^{-1} \cdot \text{K}^{-2}$ | f $\text{J} \cdot \text{mol}^{-1} \cdot \text{K}^{-3}$ |
|-----|---|---|---|---|---|---|
| 20 | 391.39 | -1.378 | 0.00147 | 239.97 | -1.097 | 0.00134 |
| 23 | 1000.96 | -3.612 | 0.00357 | 270.83 | -1.254 | 0.00162 |
| 25 | 800.50 | -2.826 | 0.00279 | 429.24 | -1.518 | 0.00154 |
| 30 | 1886.87 | -6.169 | 0.00543 | 605.75 | -2.529 | 0.00281 |

$$\Delta c_p^{g-c}(T) = c_p^g(T) - c_p^c(T) \quad (16)$$

式中, ΔS_f 为熔化熵, 其表达式为 $\Delta S_f = \sum x_i \Delta S_{fi}$ (其中, x_i 和 ΔS_{fi} 分别为第 i 个组元的摩尔分数和第 i 个组元的熔化熵, 组元 Ge, Se 和 Sb 的熔化熵见文献[34]). 计算得到 $\text{Ge}_x\text{Se}_{90-x}\text{Sb}_{10}$ ($x=20, 23, 25, 30$) 的 ΔS_f 分别为 26.492, 26.644, 26.568 和 26.538 J/(mol·K).

T_K 为过冷熔体熵和晶体熵相等时的温度. 令 $\Delta S^{g-c}(T)=0$, 即可求出 T_K . 以典型成分 $\text{Ge}_{20}\text{Se}_{70}\text{Sb}_{10}$ 玻璃为例, 计算所得的过冷熔体与晶体的熵函数见图 5. 计算得到的 $T_K=376.89$ K, 其值表示了成分为 $\text{Ge}_{20}\text{Se}_{70}\text{Sb}_{10}$ 过冷熔体可以存在的最低温度. 同理可以计算得到 $\text{Ge}_x\text{Se}_{90-x}\text{Sb}_{10}$ ($x=23, 25, 30$) 玻璃的 T_K 分别为 401.68, 418.77 和 473.41 K.

图 6 绘出了 T_K 随 x 的变化图. 采用线性拟合可得:

$$T_K = 179.80 + 9.71x \quad (17)$$

可见, T_K 随 x 含量的增加呈线性变化的规律. 即, Ge 含量越高, 其过冷熔体能够存在的最低温度也越高.

2.5 动力学脆性

研究^[35-38]表明, m 可表示为:

$$m = \left. \frac{d \lg \tau(T)}{d(T_g/T)} \right|_{T=T_g} \quad (18)$$

式中, $\tau(T)$ 是依赖于温度的弛豫时间. 黏度与弛豫时间成正比, 所以可用切黏度 $\eta(T)$ 近似替代 $\tau(T)$, 则 m 代表了黏度曲线在 T_g 时的斜率. 若用 Arrhenius 公式^[25]来描述 $\eta(T)$, 则 m 就可表示为:

$$m = \left. \frac{d \lg \eta(T)}{d(T_g/T)} \right|_{T=T_g} = \frac{E}{RT_g \ln 10} \quad (19)$$

式中, R 为气体常数, E 为活化能. 用不同升温速率下测得的 T_g , 由 Kissinger 方程^[39] 计算得到相应的 E , 然后将 T_g 和 E 代入式(19)即可计算得到 m . 表 2 列出了 4 种成分硫系玻璃的 m , 计算得出 $\text{Ge}_x\text{Se}_{90-x}\text{Sb}_{10}$ ($x=20, 23, 25, 30$) 玻璃的 m 介于 20.7~23.2 之间. 这与其它成分的 Ge-Se-Sb 玻璃^[40] 的计算得到的值 ($\text{Ge}_8\text{Sb}_{15}\text{Se}_{77}$

($m=33.7$), $\text{Ge}_{13}\text{Sb}_{23}\text{Se}_{64}$ ($m=25.7$) 和 $\text{Ge}_{18}\text{Sb}_{23}\text{Se}_{59}$ ($m=32.4$)) 接近.

m 的大小反应了在 T_g 附近熔体结构的稳定性^[41], 可以用来判断熔体的强弱. 一般将 $m < 30$ 的熔体定义为“强”的熔体, $m > 70$ 的熔体定义为“脆”的熔体, m 介于 30~70 之间的熔体为“中等强度”的熔体. 本工作研究的 $\text{Ge}_x\text{Se}_{90-x}\text{Sb}_{10}$ ($x=20, 23, 25, 30$) 玻璃其 m 均小于 30, 说明其为典型“强”的熔体.

T_g/T_K 可以用来表征“强”的熔体在 T_g 时的特征, 定性判定熔体的“强”和“脆”^[42]. $\text{Ge}_x\text{Se}_{90-x}\text{Sb}_{10}$ ($x=20$,

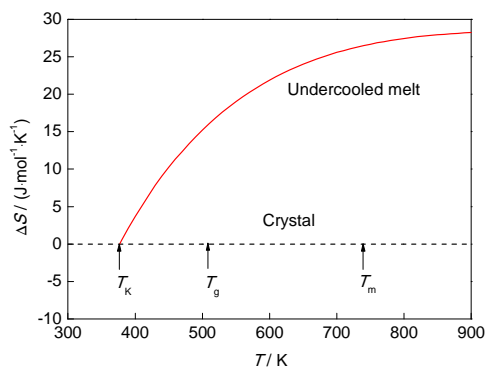


图 5 过冷 $\text{Ge}_{20}\text{Se}_{70}\text{Sb}_{10}$ 熔体态与其晶体的熵差

Fig.5 Differences in entropy between the undercooled melt and crystal of $\text{Ge}_{20}\text{Se}_{70}\text{Sb}_{10}$

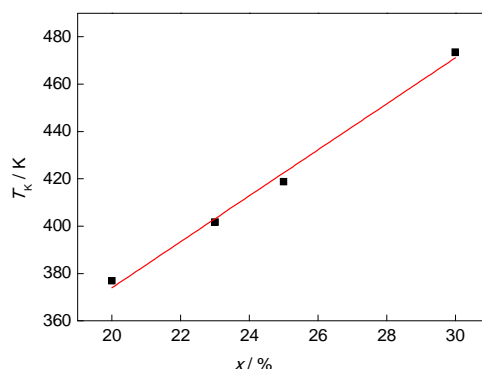


图 6 $\text{Ge}_x\text{Se}_{90-x}\text{Sb}_{10}$ 玻璃中 T_K 随 x 的变化关系

Fig.6 Relationship between T_K and x in the $\text{Ge}_x\text{Se}_{90-x}\text{Sb}_{10}$ glasses

表 2 $\text{Ge}_x\text{Se}_{90-x}\text{Sb}_{10}$ 硫系玻璃的特征温度与动力学参数

Table 2 Characteristic temperature and kinetic fragility index of $\text{Ge}_x\text{Se}_{90-x}\text{Sb}_{10}$ glasses

| x | T_g / K | T_K / K | T_m / K | T_g / T_m | T_g / T_0 | T_g / T_K | m |
|-----|-----------|-----------|-----------|-------------|-------------|-------------|------|
| 20 | 503.81 | 376.89 | 743.06 | 0.678 | 1.007 | 1.337 | 22.5 |
| 23 | 522.89 | 401.68 | 760.67 | 0.687 | 1.016 | 1.302 | 20.7 |
| 25 | 565.99 | 418.77 | 762.37 | 0.742 | 1.006 | 1.352 | 23.2 |
| 30 | 559.26 | 473.41 | 768.70 | 0.728 | 1.019 | 1.183 | 21.3 |

Note: T_g —glass transition temperature, T_K —Kauzmann temperature, T_0 —ideal glass transition temperature, T_m —melting temperature, m —fragility index

23, 25, 30) 玻璃 T_g/T_k 较大 ($T_g/T_k > 1.1^{[43]}$), 为 1.183~1.357. 对于“强”的熔体, 过剩熵仅取决于结构熵, 而无需额外的振动熵, 使得过剩熵在 T_g 以上增幅较小, 从而导致 T_g/T_k 值较大.

T_g/T_m 可以用来表征材料的非晶形成能力^[4]. T_g 与 T_m 的相对间隔越小, T_g/T_m 就越大, 这样熔体冷却过程中就更容易越过 T_g 与液相线温度之间的间隔而不发生结晶, 即玻璃形成能力强. $\text{Ge}_x\text{Se}_{90-x}\text{Sb}_{10}$ 玻璃的 T_g/T_m 介于 0.678~0.742 之间, 均大于 2/3, 说明其玻璃形成能力比较强.

$\text{Ge}_x\text{Se}_{90-x}\text{Sb}_{10}$ ($x=20, 23, 25, 30$) 玻璃的 T_g/T_0 介于 1.006~1.019 之间, 与 Sreeram 等^[44] 在 Ge-Se-Sb 硫系玻璃中报道的结果 ($T_g/T_0 \approx 1$) 相一致. 由改进后的 Gibbs-DiMarzio 方程^[32] 可知:

$$T_g = T_0 / [1 - \beta(<N> - 2)] \quad (20)$$

式中, β 为体系参数. 因为 $<N> = \sum x_i N_i$, 所以 $\text{Ge}_x\text{Se}_{90-x}\text{Sb}_{10}$ ($x=20, 23, 25, 30$) 玻璃的平均配位数 $<N>$ 在 2.5~2.7 之间. 因此可以得出 $\text{Ge}_x\text{Se}_{90-x}\text{Sb}_{10}$ 玻璃的 β 为 0.010~0.029.

3 结论

(1) $\text{Ge}_x\text{Se}_{90-x}\text{Sb}_{10}$ ($x=20, 23, 25, 30$) 硫系玻璃的玻璃化转变温度 T_g 和 T_0 随着 Ge 含量的增加呈先增大后减小的变化规律; 当 $x=25$ 时, T_g 和 T_0 达到最大值. $\text{Ge}_x\text{Se}_{90-x}\text{Sb}_{10}$ 玻璃的 T_k 随 Ge 含量的增加呈线性增大的变化规律.

(2) $\text{Ge}_x\text{Se}_{90-x}\text{Sb}_{10}$ 玻璃动力学脆性参数 m 在 20.7~23.2 之间 (小于 30), T_g/T_k 介于 1.183~1.357 之间 (大于 1.1), 表明其为“强”的熔体; T_g/T_m 在 0.678~0.742 之间 (大于 2/3), 表明其玻璃化形成能力较强.

(3) 确定出了 $\text{Ge}_x\text{Se}_{90-x}\text{Sb}_{10}$ 玻璃的体系参数 β , 其值在 0.010~0.029 之间.

参考文献

- [1] Angell C A. *Science*, 1995; 267: 1924
- [2] Fontana G D, Battezzati L. *Acta Mater*, 2013; 61: 2260
- [3] Mukherjee S, Schroers J, Johnson W L, Rhim W K. *Phys Rev Lett*, 2005; 94: 245501
- [4] Turnbull D. *Contemp Phys*, 1969; 10: 473
- [5] Kauzmann W. *Chem Rev*, 1948; 43: 219
- [6] Jian Z Y, Zhou J, Chang F E, Jie W Q. *Acta Metall Sin*, 1999; 45: 1146
(坚增运, 周 晶, 常芳娥, 介万奇. 金属学报, 1999; 45: 1146)
- [7] Debenedetti P G, Stillinger F H. *Nature*, 2001; 410: 259
- [8] Gibson J M. *Science*, 2009; 326: 942
- [9] Angell C A. *J Non-Cryst Solids*, 1985; 73: 1
- [10] Cai A H, Ding D W, Xiong X, Liu Y, An W K, Zhou G J, Luo Y, Li T L, Li X S. *Mater Des*, 2014; 63: 233

- [11] Gallino I, Schroers J, Busch R. *J Appl Phys*, 2010; 108: 063501
- [12] Jiang Q K, Wang X D, Nie X P, Zhang G Q, Ma H, Fecht H J, Bendnarcik J, Franz H, Liu Y G, Cao Q P, Jiang J Z. *Acta Mater*, 2008; 56: 1785
- [13] Battezzati L, Castellero A, Rizzi P. *J Non-Cryst Solids*, 2007; 353: 3318
- [14] Battezzati L. *Rev Adv Mater Sci*, 2008; 18: 184
- [15] Glade S C, Busch R, Lee D S, Johnson W L, Wunderlich R K, Fecht H J. *J Appl Phys*, 2000; 87: 7242
- [16] Evenson Z, Busch R. *Acta Mater*, 2011; 59: 4404
- [17] Jiang Q, Xu X Y, Li J C. *Acta Metall Sin*, 1997; 33: 6
(蒋 青, 徐晓亚, 李建忱. 金属学报, 1997; 33: 6)
- [18] Legg B A, Schroers J, Busch R. *Acta Mater*, 2007; 55: 1109
- [19] Jia R, Bian X F, Wang Y Y. *Chin Sci Bull*, 2011; 56: 3912
- [20] Lu Z P, Li Y, Liu C T. *J Appl Phys*, 2003; 93: 286
- [21] Senkov O N. *Phys Rev*, 2007; 76B: 104202
- [22] Jiang Q K, Zhang G Q, Yang L, Wang X D, Saksl K, Franz H, Wunderlich R, Fecht H, Jiang J Z. *Acta Mater*, 2007; 55: 4409
- [23] Fiore G, Battezzati L. *J Alloys Compd*, 2009; 483: 54
- [24] Fan G J, Löffler J F, Wunderlich R K, Fecht H J. *Acta Mater*, 2004; 52: 667
- [25] Zhu M, Li J J, Yao L J, Jian Z Y, Chang F E, Yang G C. *Thermochim Acta*, 2013; 565: 132
- [26] Gallino I, Gross O, Fontana G D, Evenson Z, Busch R. *J Alloys Compd*, 2014; 615: S35
- [27] Zhang X H, Guimond Y, Bellec Y. *J Non-Cryst Solids*, 2003; 326: 519
- [28] Varshneya A K, Mauro D J. *J Non-Cryst Solids*, 2007; 353: 1291
- [29] Vázquez J, Barreda D G, López-Alemaný P L, Villares P, Jiménez-Garay R. *J Alloys Compd*, 2005; 390: 94
- [30] Lee J H, Lee W H, Park J K, Yi J H, Shin S Y, Park B J, So B, Heo J, Choi J H, Kim H J, Choi Y G. *J Non-Cryst Solids*, doi: 10.1016/j.jnoncrsol.2015.04.003
- [31] Soltana A S, Abu-Sehly A A, Joraid A A, Alamri S N. *Thermochim Acta*, 2013; 574: 73
- [32] Tlchý L, Tichá H. *J Non-Cryst Solids*, 1995; 189: 141
- [33] Guo H, Tao H Z, Gong Y Q, Zhao X J. *J Non-Cryst Solids*, 2008; 354: 1159
- [34] Dinsdale A T. *Calphad*, 1991; 15: 317
- [35] Angell C A. *MRS Bull*, 2008; 33: 544
- [36] Martinez L M, Angell C A. *Nature*, 2001; 410: 663
- [37] Ito K, Moynihan C T, Angell C A. *Nature*, 1999; 398: 492
- [38] Angell C A. *J Non-Cryst Solids*, 1988; 102: 205
- [39] Kissinger H E. *Anal Chem*, 1957; 29: 1702
- [40] Rabinal M K, Sangunni K S, Gopal E S R. *J Non-Cryst Solids*, 1995; 188: 98
- [41] Zhang C Z. *PhD Dissertation*, Shandong University, Jinan, 2011
(张春芝. 山东大学博士学位论文, 济南, 2011)
- [42] Guo Y F, Yavari A R, Zhang T. *J Alloys Compd*, 2012; 536: 91
- [43] Angell C A. *Physica*, 1997; 107D: 122
- [44] Sreeram A N, Varshneya A K, Swiler D R. *J Non-Cryst Solids*, 1991; 128: 294

(责任编辑:毕淑娟)